

Снежный покров невысок — 15—20 см. Снег появляется в среднем 21 ноября, а сходит — 28 марта. Устойчивый снежный, по многолетним данным, покров держится с 17 декабря по 13 марта. Но случаются годы без устойчивого снежного покрова. Снег эпизодически выпадает и вскоре стаивает.

Годовой ход температуры соответствует континентальному типу: с минимумом в январе и максимумом в июле месяце. Амплитуда средних суточных температур воздуха составляет  $25^{\circ}$ , абсолютных температур –  $75^{\circ}$ . 272 дня температуры воздуха в Ставрополе выше  $0^{\circ}$ , 222 дня – выше  $5^{\circ}$ , 179 дней – выше  $10^{\circ}$ , 129 дней выше  $15^{\circ}$  и 61 день – выше  $20^{\circ}$ ; 93 дня температуры ниже  $0^{\circ}$ .

Учитывая все вышесказанное логично утверждать, что применение солнечных прудов для получения тепловой и электрической энергии на территории Ставропольского края возможно и целесообразно.

Для практической реализации поставленной задачи на кафедре теплоснабжения и экспертизы недвижимости Северо-Кавказского федерального университета разработан проект экспериментального стенда. По своим габаритам (5 м × 3 м × 3 м) он аналогичен экспериментальному солнечному пруду, созданному в Бет-ха-Араве (Израиль) на берегу Мертвого моря. В качестве пруда-накопителя предлагается использовать наземный бассейн, стены и днище которого выполнены из обладающего малым коэффициентом теплопроводности пенополистирола. На стенде предусмотрена возможность измерения градиентов температур и концентрации соли в растворе, а также количество тепла, воспринятого теплообменником в бассейне и отданного отопительным приборам. Проект получил одобрение в Министерстве энергетики, промышленности и связи Ставропольского края. Результаты экспериментов, проведение которых планируется в 2013—2014 годах, лягут в основу практической реализации преобразования солнечной энергии в тепловую и электрическую с помощью солнечных соляных прудов.

### Литература

- 1. Трушин С. Г., Зенкова И. А. О проблемах создания электростанций на базе солнечных прудов // Энергетическое строительство 1990. № 1. С. 19–22.
  - 2. Осадчий Г. Б. Солнечная энергоустановка для горной местности // Промышленная энергетика. 1998. № 1.
- 3. Осадчий Г. Б. Солнечная энергия, её производные и технологии их использования (Введение в энергетику ВИЭ). Омск: ИПК Макшеевой Е. А., 2010. 572 с.
- 4. Попель О. С., Сонина Н. М., Яскин Л. А., Зенкова И. А. Перспективы строительства опытнопромышленного солнечного пруда в Крыму.

УДК 620.9

## Гейбатов Руслан Аликович, Стоянов Николай Иванович, Гейвандов Иоганн Арестогесович

## МЕТОДИКА РЕШЕНИЯ ДИФФЕРЕНЦИАЛЬНЫХ УРАВНЕНИЙ, ОПИСЫВАЮЩИХ ТЕПЛОВЫЕ ПОТОКИ И РАСПРЕДЕЛЕНИЕ ТЕМПЕРАТУР В МАССИВЕ ГРУНТА ВОКРУГ ПЕТРОТЕРМАЛЬНОЙ СКВАЖИНЫ

В статье показано применение метода конечных разностей для решения дифференциальных уравнений; суть метода сводится к замене непрерывной области совокупностью изолированных точек. Тепловые потоки в грунте можно разделить на вертикальные и радиальные, в связи с этим предлагаются две соответствующие расчетные схемы с соответствующими уравнениями.

Ключевые слова: дифференциальное уравнение, тепловой поток, распределение температур, метод конечных разностей, конечно-разностная схема.

# Geybatov Ruslan Alikovich, Stoyanov Nikolay Ivanovich, Geyvandov Johann Arestogesovich THE METHOD OF DIFFERENTIAL EQUATIONS SOLVING DESCRIBING HEAT FLOW RATES AND TEMPERATURE DISTRIBTUTION IN SOIL AROUND A PETRO-THERMAL WELL

The finite-difference method was used for differential equation solving. Heat flows can be divided into vertical and radial-type, thereby two relevant design diagrams with equations are suggested.

Key words: differential equation, heat flow, temperature distribution, finite-difference method, finite-difference scheme.

Расширение математического образования резко увеличило возможности построения и исследования математических моделей. Все чаще результаты расчетов позволяют обнаруживать и предсказывать ранее никогда не наблюдавшиеся явления, это дает основания говорить о математи-



ческом эксперименте. В некоторых исследованиях доверие к результатам численных экспериментов так велико, что в расхождении между результатами расчетов и экспериментов в первую очередь ищут погрешность в результатах экспериментов.

Требование численного решения новых задач привело к появлению большого количества новых методов. Наряду с этим последние полвека происходило интенсивное теоретическое переосмысление и старых методов, а также систематизация всех методов. Эти теоретические исследования оказывают большую помощь при решении конкретных задач.

Основным способом численного решения уравнений в частных производных является метод конечных разностей, заключающийся в аппроксимации производных конечными разностями. Вариантов такой аппроксимации одного и того же уравнения может быть несколько. В зависимости от выбранного шаблона получаются те или иные разностные схемы. В любом случае для получения сеточного решения приходится решать систему линейных или нелинейных алгебраических уравнений, аппроксимирующих исходное дифференциальное уравнение.

Основой метода конечных разностей является дискретизация — замена непрерывной области совокупностью изолированных точек (сеткой), причем решение уравнений ищется лишь в этих точках (узлах сетки).

В первую очередь при использовании метода конечных разностей надо стремиться к правильной аппроксимации уравнений поставленной задачи, а затем выбрать «наилучшую» схему, то есть оптимизировать ее, учитывая ее точность, экономичность, удобство программной реализации на ЭВМ и т. д.

Решение системы дифференциальных уравнений с частными производными можно значительно упростить применением хорошо построенной расчетной сетки. Верно и другое, что расчет на сетке, не очень хорошо соответствующей данной задаче, может дать неудовлетворительный результат [1–4].

Извлечение петротермальной энергии осуществляется по способу [5].

Дифференциальное уравнение нестационарной теплопроводности в цилиндрическом массиве грунта имеет вид:

$$\frac{\partial t_{zp}^{cp}}{\partial \tau} = -a \left( \frac{\partial^2 t_{zp}^{cp}}{\partial z_{zp}^2} + \frac{\partial^2 t_{zp}^{cp}}{\partial r^2} \right), \text{BT}.$$
 (1)

Величины тепловых потоков в грунте у поверхности наружной трубы скважины определяются по уравнениям:

$$\begin{cases} Q_r = \lambda \cdot 2\pi \cdot \frac{\partial t}{\partial r} \cdot r \cdot dz_{zp}, \text{BT}, \\ Q_z = \lambda \cdot \frac{\partial t}{\partial z_{zp}} \cdot r \cdot dr, \text{BT}, \end{cases}$$
(2)

где  $t_{\mathit{cp}_{i,j}}^{\mathit{cp}} = f(r_{\mathit{cp}})$  — переменная температура грунта;  $t_{\mathit{cp}_{i,j}}^{\mathit{cp}}$  меняется от  $t_{\mathit{cp}_{i,j}}^{\mathit{cp}} = t_{2\mathit{e}_{i,j}}^{\mathit{cp}}$  при  $r_{\mathit{cp}} = r_{4}$  до  $t_{\mathit{cp}_{i,j}}^{\mathit{cp}} = t_{\mathit{cp}_{i,0}}^{\mathit{cp}} - \Delta t_{3}$  при  $r_{\mathit{cp}} = r_{\mathit{e}_{3}}$ .

Решение уравнения (1) для определения распределения температур в массиве грунта вокруг скважины и величин  $Q_r$  и  $Q_z$  в явном виде невозможно. Поэтому поставленная задача решается методом последовательного приближения с применением конечно-разностных схем (рис. 2, 3) [6–8].

При исследовании процессов теплообмена в массиве грунта вокруг скважины и в самой скважине мы рассекаем её плоскостями по горизонтали, как показано на рис. 1, где 1 – массив грунта; 2 – петротермальная скважина.

На рис. 2 представлена принятая конечно-разностная схема по координатам  $R-\tau$  для расчетного участка i, где  $\Delta R$  — конечное приращение относительного радиуса цилиндрического слоя грунта вокруг трубопровода; m — число равных конечных приращений, на которые разбивается текущий радиус цилиндрического слоя грунта вокруг трубопровода.

По условиям задания r величина m меняется от  $m=1+r_4$  до  $m=m_{_{\!\it e\! n}}$  при  $r_{_{\!\it c\! p}}=r_{_{\!\it e\! n}}$  . При этом r=m ;  $\Delta \tau$  — конечное приращение текущего времени;  $\tau_{_{\it i}}=j\cdot\Delta \tau$  — текущее время рассчитываемо-



го этапа процесса нестационарной теплопроводности; j – число равных конечных отрезков времени ( $\Delta \tau$ ), отсчитываемое от  $\tau=0$  до  $\tau_i$ ;  $t_{i,m,j}=t^{cp}_{vp_{i,m,j}}$  при r=m – текущая переменная температура грунта в момент времени j на текущем радиусе r=m для расчетного участка i.

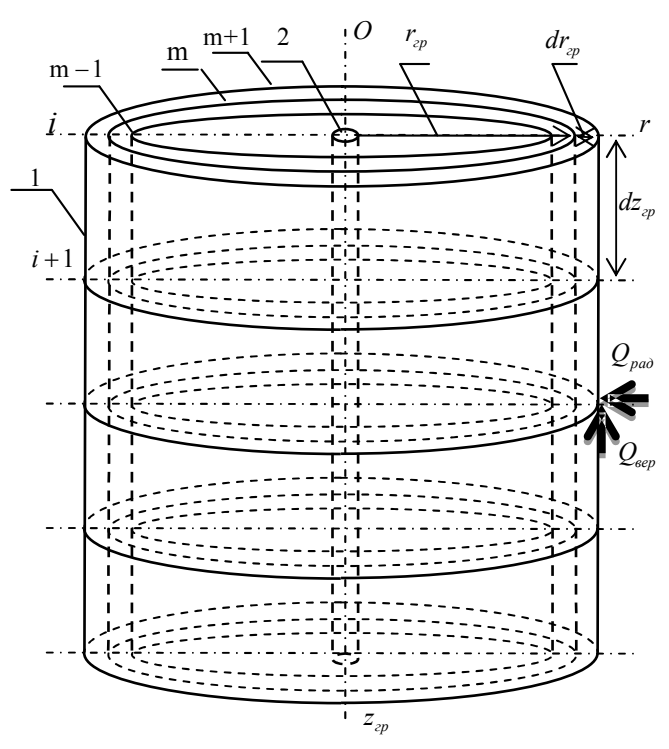


Рис. 1. Расчётная схема массива грунта вокруг скважины

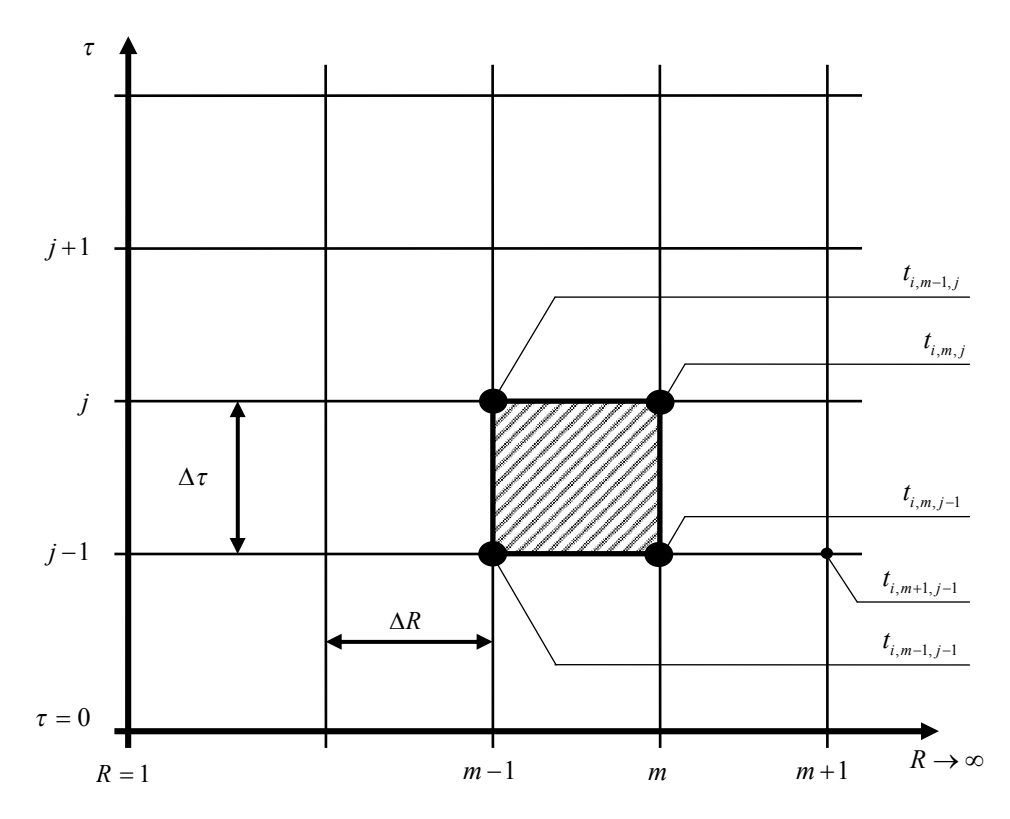


Рис. 2. Конечно-разностная схема по координатам  $R-\tau$  для расчетного участка i



На рис. 3 представлена принятая конечно-разностная схема по координатам  $z_{p}-\tau$  для расчетного радиуса m, где  $\Delta z_{zp}$  – конечное приращение глубины петротермальной скважины; i – число равных конечных приращений, на которые разбивается глубина петротермальной скважины.

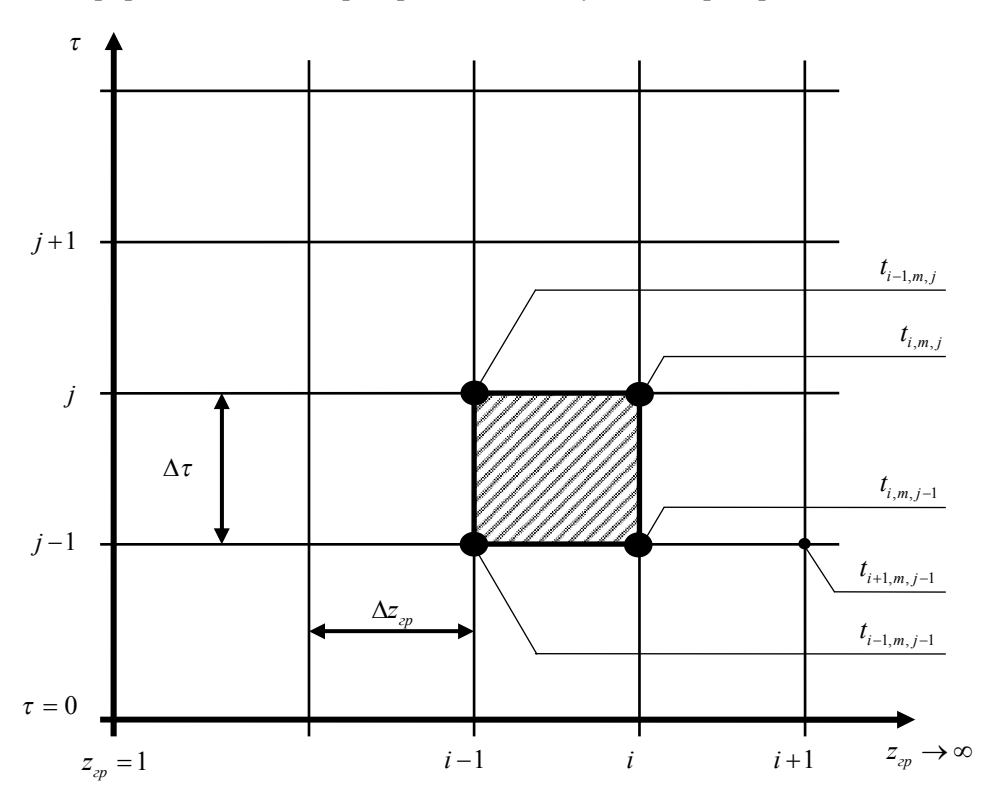


Рис. 3. Конечно-разностная схема по координатам  $z_{zp} - \tau$  для расчетного радиуса m

Численные значения производных температуры грунта по времени j и по радиусу  $R_m$ :

производная температуры по времени 
$$\tau$$
 для данного радиуса  $R_m$  
$$\frac{\partial t_{cp}^{cp}}{\partial \tau} = \frac{t_{i,m,j-1} - t_{i,m,j}}{\Delta \tau};$$
 (3)

производная температуры грунта по радиусу 
$$R$$
 
$$\frac{\partial t_{\it ep}^{\it cp}}{\partial r} = \frac{\Delta t_{\it i,m,\ j-1}^{\it r}}{\Delta r} = \frac{t_{\it i,m+1,j-1} - t_{\it i,m,j-1}}{\Delta r}; \tag{4}$$

вторая производная температуры грунта по радиусу 
$$R$$
 
$$\begin{cases} \frac{\partial^2 t_{zp}^{cp}}{\partial r^2} = \frac{\Delta^2 t_{m,\ j-1}^r}{\Delta r^2} = \frac{\left(t_{i,m+1,j-1} - t_{i,m,j-1}\right) - \left(t_{i,m,j-1} - t_{i,m-1,j}\right)}{\Delta r^2}; \\ \frac{\Delta^2 t_{i,m,\ j-1}^r}{\Delta r^2} = \frac{\Delta t_{i,m,\ j-1}^r - \overline{\Delta} t_{i,m-1,\ j}^r}{\Delta r}. \end{cases}$$
 (5)

В приведенных уравнениях приняты следующие обозначения приращения температуры:

$$\begin{cases} \Delta t_{i,m,j}^r = t_{i,m,j-1} - t_{i,m,j}; \Delta t_{i,m,j-1}^r = t_{i,m+1,j-1} - t_{i,m,j-1}; \\ \overline{\Delta} t_{i,m-1,j}^r = t_{i,m,j-1} - t_{i,m-1,j}. \end{cases}$$
(6)

Численные значения производных температуры грунта по времени j и по высоте  $z_{\it cp}$  :

• производная температуры грунта по высоте Z

$$\frac{\partial t_{zp}^{cp}}{\partial z_{zp}} = \frac{\Delta t_{i,m,\ j-1}^Z}{\Delta z_{zp}} = \frac{t_{i+1,m,j-1} - t_{i,m,j-1}}{\Delta z_{zp}};$$
(7)



вторая производная температуры грунта по высоте Z

$$\begin{cases}
\frac{\partial^{2} t_{\text{rp}}^{\text{cp}}}{\partial z_{\text{rp}}^{2}} = \frac{\Delta^{2} t_{i,m,\ j-1}^{z}}{\Delta z_{\text{rp}}^{2}} = \frac{\left(t_{i+1,m,j-1} - t_{i,m,j-1}\right) - \left(t_{i,m,j-1} - t_{i-1,m,j}\right)}{\Delta z_{\text{rp}}^{2}}; \\
\frac{\Delta^{2} t_{i,m,\ j-1}^{z}}{\Delta z_{\text{2p}}^{2}} = \frac{\Delta t_{i,m,\ j-1}^{z} - \overline{\Delta} t_{i-1,m,\ j}^{z}}{\Delta z_{\text{2p}}^{2}}.
\end{cases} (8)$$

В приведенных уравнениях приняты следующие обозначения приращения температуры: 
$$\Delta t_{i,m,\ j-1}^Z = t_{i+1,m,j-1} - t_{i,m,j-1}; \overline{\Delta} t_{i-1,m,\ j}^Z = t_{i,m,j-1} - t_{i-1,m,j}. \tag{9}$$

Подставляя полученные численные значения производных и обозначения разности температур грунта в уравнение (1):

$$\Delta t_{i,m, j}^{\tau} = -a \cdot \Delta \tau \left( \frac{\Delta t_{i,m, j-1}^{z} - \overline{\Delta} t_{i-1,m-1, j}^{z}}{\Delta z_{rp}^{2}} + \frac{\Delta t_{i,m, j-1}^{r} - \overline{\Delta} t_{i,m-1, j}^{r}}{\Delta r^{2}} \right). \tag{10}$$

Преобразуем уравнение (10) с учетом обозначений (6), (9) в расчетное уравнение

$$t_{i,m,j} = t_{i,m,j-1} + a \cdot \Delta \tau \cdot \left( \frac{t_{i+1,m,j-1} - 2t_{i,m,j-1} + t_{i-1,m,j}}{\Delta z_{rn}^{2}} + \frac{t_{i,m+1,j-1} - 2t_{i,m,j-1} + t_{i,m-1,j}}{\Delta r^{2}} \right), \tag{11}$$

которое после соответствующих преобразований будет иметь вид:

$$t_{i,m,j} = t_{i,m,j-1} + M \cdot \left( \frac{t_{i+1,m,j-1} - 2t_{i,m,j-1} + t_{i-1,m,j}}{\Delta z_{\rm rp}^2} + \frac{t_{i,m+1,j-1} - 2t_{i,m,j-1} + t_{i,m-1,j}}{\Delta r^2} \right), \tag{12}$$

где  $M = a \cdot \Delta \tau$  – постоянный коэффициент.

Подставляя принятые выше обозначения в уравнения (2):

$$\begin{cases}
Q_{r_{i,j}}^{\text{cp}} = \lambda \cdot 2\pi \frac{t_{i,m+1,j-1} - t_{i,m,j-1}}{\Delta r} \cdot r \cdot \Delta z_{\text{rp}}, \text{ BT,} \\
Q_{z_{i,j}}^{\text{cp}} = \lambda \cdot \frac{t_{i+1,m,j-1} - t_{i,m,j-1}}{\Delta z_{zp}} \cdot r \cdot \Delta r, \text{BT.}
\end{cases}$$
(13)

Разработанную математическую модель следует перенести на ПЭВМ, то есть создать компьютерную программу, позволяющую проводить виртуальные опыты и исследования. Данная компьютерная программа должна обладать рядом свойств, а именно: точностью расчетов; высокой производительностью; простым и удобным для пользователя интерфейсом; универсальностью.

Универсальность компьютерной программы, которая должна представлять собой, по сути, инструмент для исследований, позволяет учитывать множество факторов, так необходимых для изучения температурных полей петротермальных скважин.

Однако разработанная математическая модель нуждается в проверке, средством проверки математической модели должен послужить эксперимент.

### Литература

- 1. Боглаев Ю. П. Вычислительная математика и программирование. М.: Высш. шк., 1990. 543 с.
- 2. Власова Е. А., Зарубин В. С., Кувыркин Г. Н. Приближенные методы математической физики. М.: Изд-во МГТУ им Н. Э. Баумана, 2001. 700 с.
  - 3. Калиткин Н. Н. Численные методы. М.: Наука, 1978. 512 с.
  - 4. Марчук Г. И. Методы вычислительной математики. М.: Наука, 1980. 536 с.
- 5. Пат. 2288413 Российская Федерация, С1, МПК F24J 3/08. Способ извлечения геотермального тепла / Н. И. Стоянов, А. И. Воронин, И. А. Гейвандов – 2005113114/06; Заявлено 29.04.05; Опубл. 27.11.06, Бюл. 33. Патентообладатель ГОУ ВПО «Северо-Кавказский государственный технический университет».
  - 6. Самарский А. А. Теория разностных схем. М.: Наука, 1989. 614 с.
  - 7. Самарский А. А., Гулин А. В. Устойчивость разностных схем. М.: Наука, 1973. 415 с.
  - 8. Самарский А. А., Гулин А. В. Численные методы. М.: Наука, 1989. 429 с.
- 9. Бахвалов Н. С., Жидков Н. П., Кобельков Г. М. Численные методы. М.: Лаборатория базовых знаний, 2000. 624 c.